

Как видно из рис. 3, кривая 3 лучше согласуется с ординатой \bar{y}_n при чистом изгибе и с экспериментальной кривой. При сравнении кривых 1 или 2 с кривой 3 видно, что формулы (4.27) и (4.31), приведенные в работе [1], могут дать завышенное вдвое и более значение \bar{y}_n , что приведет к существенным погрешностям в определении момента внутренних сил и пружинения при разгрузке.

Расхождение экспериментальной кривой 4 с кривой 3 объясняется отклонением действительных констант E, K, n материала от их усредненных значений, принятых в расчете, а также погрешностями в определении величины деформации предварительного растяжения ϵ_0 и усилию растяжения, обусловленными допусками на размеры элементов поперечного сечения профиля.

Л и т е р а т у р а

И. Лысов М.И. Теория и расчет процессов изготовления деталей методами гибки. М., "Машиностроение", 1966.

УДК 621.98.016.3

В.Ю.Арышенский

О ВОЗМОЖНОСТЯХ ИЗГОТОВЛЕНИЯ ОСЕСИММЕТРИЧНЫХ ДЕТАЛЕЙ С МИНИМАЛЬНОЙ РАЗНОТОЛЩИННОСТЬЮ *

Все возрастающие требования к современным конструкциям летательных аппаратов диктуют необходимость изготовления равнопрочных деталей, особенно деталей, составляющих аэродинамический контур. Как известно, они представляют собой различного рода оболочки, часто сложной геометрической формы и чем сложнее контур, резче изменение кривизны, тем труднее ответить на вопрос - можно ли получить детали с равномерным распределением толщины стенки.

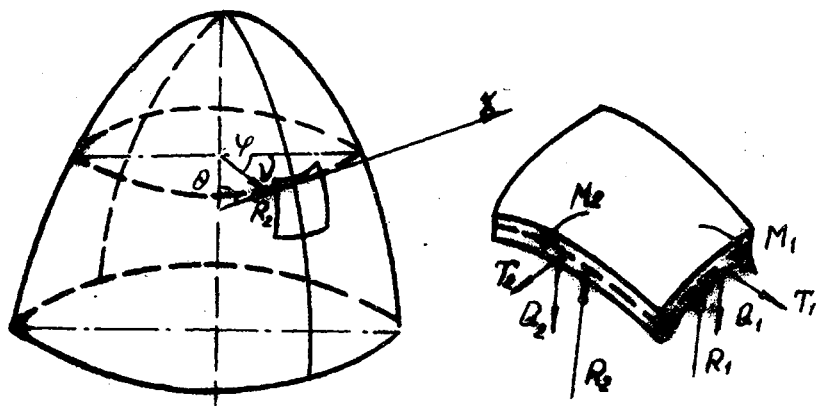
В настоящее время имеются лишь отдельные попытки решить этот вопрос в каждом конкретном случае на основе опытных данных и частных конструктивных решений (1), (2). Целью данной статьи является разработка общей методики получения равномерных осесимметричных оболочек и установление путей ее практической реализации.

* Работа выполнена под руководством к.т.н. И.И.Калужского

Поставленная задача решалась на основе моментной теории пластических анизотропных оболочек с учетом упрочнения материала.

Запишем основные исходные уравнения.

Уравнение равновесия (рис. I):



Р и с. I. Геометрические и силовые параметры оболочки

$$\frac{\nu}{R_1} \frac{dT_1}{d\theta} + (\bar{T}_1 - \bar{T}_2) \cos \theta + \frac{\nu}{R_1} Q_1 + q_1 \nu = 0;$$

$$\frac{\nu}{R_1} T_1 + T_2 \sin \theta - \frac{1}{R_1} \frac{d(\nu \bar{Q}_1)}{d\theta} - q_n \nu = 0;$$

$$\nu \bar{Q}_1 + \frac{\nu}{R_1} \frac{dM_1}{d\theta} - (M_1 - M_2) \cos \theta - L \nu = 0.$$

(I)

Здесь $\bar{T}_1 = \frac{T_1}{K}$; $\bar{T}_2 = \frac{T_2}{K}$; $\bar{Q}_1 = \frac{Q_1}{K}$;

$$T_{jn} = \int_{-\frac{h}{2}}^{+\frac{h}{2}} \sigma_{jn} dz = \frac{h_0}{2} \lambda \int_{-1}^{+1} \sigma_{jn} t dt;$$

$$M_{jn} = \int_{-\frac{h}{2}}^{+\frac{h}{2}} \sigma_{jn} z dz = \left(\frac{h_0}{2}\right)^2 \lambda^2 \int_{-1}^{+1} \sigma_{jn} t dt, \lambda = \frac{h_k}{h_j},$$

где \bar{q}_1 и \bar{q}_n - приведенные тангенциальные и нормальные поверхностные нагрузки равные

$$q_1 = (q_1^+ + q_1^-), \quad q_n = (q_n^+ + q_n^-), \quad L = \frac{1}{2} (q_1^+ - q_1^-) h.$$

(Знак "+" относится к внешней поверхности, а "-" к внутренней)
Условие пластичности (3):

$$\sigma_{ij} = \sqrt{\sigma_1^2 - 2\mu_{21}\sigma_1\sigma_2 + \bar{\mu}\sigma_2^2}, \quad (2)$$

где $\bar{\mu} = \frac{\mu_{21}}{\mu_{12}}$.

Физические уравнения:

$$\begin{aligned} \sigma_1 &= \frac{\mu_{12}}{1 - \mu_{12}\mu_{21}} \frac{\sigma_{i1}}{e_{i1}} \left(e_1 - e_2 \right); \\ \sigma_2 &= \frac{\mu_{12}}{1 - \mu_{12}\mu_{21}} \frac{\sigma_{i1}}{e_{i1}} \left(e_1 + \frac{e_2}{\mu_{21}} \right). \end{aligned} \quad (3)$$

Степенной закон упрочнения

$$\sigma_{i1} = K e_{i1}^n, \quad (4)$$

где

$$K = K_1 (1 - \mu_{12}\mu_{21})^{-(1+0,5n)};$$

$$a \quad K_1 = \frac{\sigma_{s1} (1 + \sigma_p)}{[e_{s1} (1 + \sigma_p)]^n}.$$

K - коэффициент, входящий в функцию упрочнения (4).

Интенсивность деформаций:

$$e_{i1} = \frac{1}{\sqrt{1 - \mu_{12}\mu_{21}}} \sqrt{e_1^2 + 2\mu_{12}e_1e_2 + \bar{\mu}e_2^2}. \quad (5)$$

Как видно, полученная система уравнений (I) - (5) является замкнутой, однако, пока не удастся решить ее традиционными методами. В связи с этим был использован принципиально иной подход, который состоял в постановке обратной задачи.

Сущность обратной задачи заключается в том, что по заданной (окончательной) геометрической форме детали определяются силовые параметры, необходимые для ее получения. Такой подход позволяет уменьшать число неизвестных, входящих в систему (I)-(5). Однако приведенные моменты и усилия имеют интегральный вид, что вызывает определенные математические трудности при решении задачи. Чтобы

их избежать, были введены специальные силовые функции, являющиеся аналогом интегралов от напряжений:

$$\Phi_k(-m, y_i) = \Phi_k(x, y_1, y_2) = \int_{-1}^{+1} (y_0 + y_1 t + y_2 t^2)^{\sigma} t^2 dt, \quad (6)$$

где y_0, y_1, y_2 - функции деформаций;

t - параметр интегрирования;

m, σ, k - коэффициенты, связанные с упрочнением.

Для дальнейшего упрощения функции были разложены в ряд:

$$\Phi_{2k} = 2e_{1c}^{\sigma_1} \left[\frac{1}{2k+1} + \sum_{z=1}^{\infty} \frac{\sigma_1(\sigma_1-1)\dots(\sigma_1-2z+1)}{(2z)!(2k+2z+1)} \left(\frac{x_1}{e_{1c}}\right)^{2z} \right];$$

$$\Phi_{2k+1} = 2e_{1c}^{\sigma_1} \left(\frac{x_1}{e_{1c}}\right) \left[\frac{1}{2k+3} + \sum_{z=1}^{\infty} \frac{\sigma_1(\sigma_1-1)\dots(\sigma_1-2z)}{(2z+1)!(2k+2z+3)} \left(\frac{x_1}{e_{1c}}\right)^{2z} \right]. \quad (7)$$

Здесь e_{1c} - деформации срединной поверхности в направлении I;
 x - изменение кривизны детали в первом направлении.

В результате введения функций (6) приведенные усилия и моменты имеют следующий вид:

$$\bar{T}_1 = \frac{h_0}{2} \lambda_0 \left[(e_{1c} + \mu_{12} e_{2c}) \Phi(-m, y_i) + (x_1 + \mu_{12} x_2) \Phi_1(-m, y_i) \right];$$

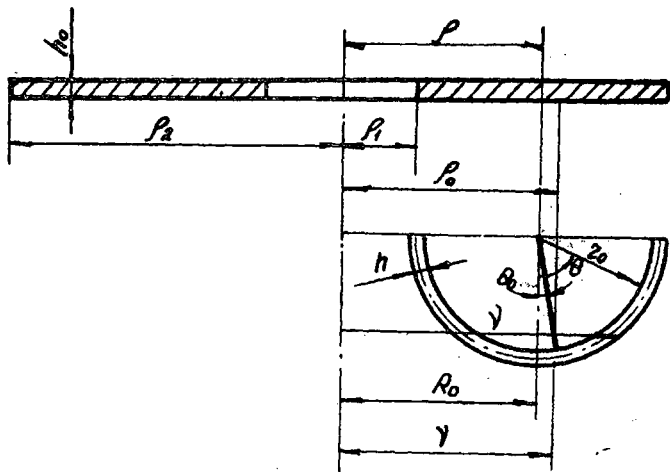
$$\bar{T}_2 = \bar{\mu} \frac{h_0}{2} \lambda_0 \left[(e_{2c} + \mu_{21} e_{1c}) \Phi_0(-m, y_i) + (x_2 + \mu_{21} x_1) \Phi_1(-m, y_i) \right];$$

$$\bar{M}_1 = \frac{h_0^2}{4} \lambda_0^2 \left[(e_{1c} + \mu_{12} e_{2c}) \Phi_1(-m, y_i) + (x_1 + \mu_{12} x_2) \Phi_2(-m, y_i) \right];$$

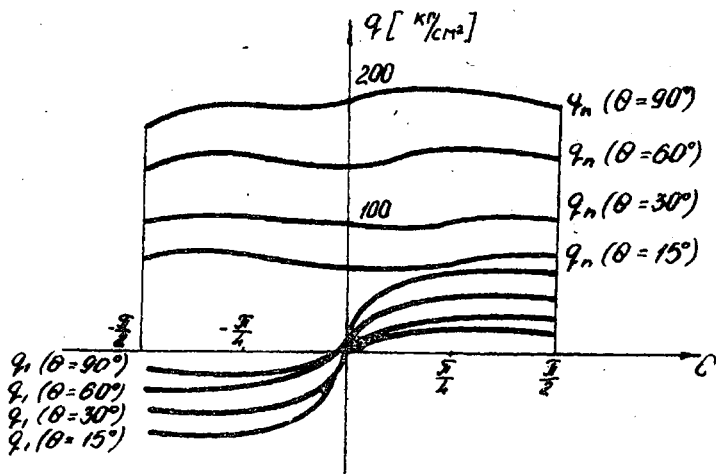
$$\bar{M}_2 = \bar{\mu} \frac{h_0^2}{4} \lambda_0^2 \left[(e_{2c} + \mu_{21} e_{1c}) \Phi_1(-m, y_i) + (x_2 + \mu_{21} x_1) \Phi_2(-m, y_i) \right].$$

Если воспользоваться разложением (7), то уравнения (8) можно записать через элементарные функции.

Далее уравнения (I) разрешают относительно \bar{q}_1 и \bar{q}_n . Входящие в него неизвестные \bar{T}_{ci} и \bar{M}_i представляют в виде уравнения (8). полученная система будет содержать определенные геометрические параметры, которые необходимо задать, чтобы получить численное решение.

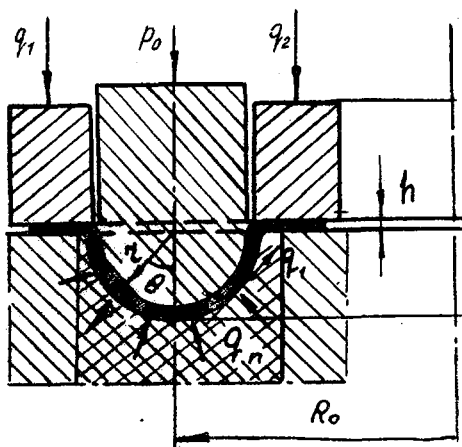


Р и с. 2. Изменение формы торообразной оболочки



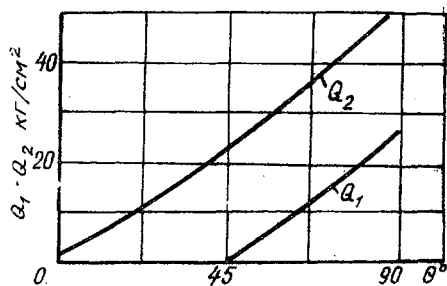
Р и с. 3. Нагрузочные функции в процессе деформирования

В качестве примера рассмотрим класс торообразных оболочек (рис. 2). Решение проводилось в два этапа. На первом из них по начальным и окончательным размерам были просчитаны возможные функции нагрузок, обеспечивающих равнотолщинность. Затем из всех возможных функций путем оптимизации была получена наиболее рациональная из них в технологическом плане, а



Р и с. 4. Схема штамповки

именно — с равномерным утонением 10% и углом $\theta_0 = -20^\circ$ (угол между нейтральной точкой и вертикальным направлением).



Р и с. 5. Изменение усилий прижима

Как видно из рис. 3, выбранная функция близка к равномерно распределенной (на всех этапах деформирования).

Принятая функция позволила выбрать схему штамповки (рис. 4), а также найти все необходимые силовые параметры, характер изменения которых представлен на рис. 3 и 5.

Л и т е р а т у р а

1. М о и н и н Е.Н. Технология штамповки крупногабаритных деталей. М., "Машиностроение", 1973.
2. М е л ь н и к о в Э.Л. Холодная штамповка днищ. М. "Машиностроение", 1976.
3. А р ы ш е н с к и й Ю.М. Теория листовой штамповки анизотропных материалов. Издательство Саратовского университета, 1973.